

شبیه‌سازی عددی عملکرد هیدرولیکی جریان آب و هوای در سرریزهای سه‌جانبی با در نظر گرفتن آثار مقیاس

مهديار فرهودي^۱، سيدعلی اکبر صالحی‌نیشابوری^{۲*}، اکبر صفرزاده‌گندشمنی^۳

- ۱- کارشناس ارشد سازه‌های هیدرولیکی، دانشگاه تربیت مدرس
- ۲- استاد سازه‌های هیدرولیکی، پژوهشکده مهندسی آب، دانشگاه تربیت مدرس
- ۳- دانشیار گروه مهندسی عمران، دانشگاه محقق اردبیلی

*salehi@modares.ac.ir

تاریخ پذیرش: [۱۳۹۵/۹/۳]

تاریخ دریافت: [۱۳۹۴/۹/۷]

چکیده

استفاده از سرریزهای چندوجهی به دلیل کاهش قابل توجه هزینه و مشکلات اجرایی در مقایسه با سایر سرریزها، مورد توجه طراحان این نوع سازه‌ها است. در مناطقی که از لحاظ مکانی و افزایش عرض کلی جایگاه سرریز، محدودیت وجود دارد و یا در مناطقی که از لحاظ افزایش فضا و حجم اضافی برای سیل محدودیت داشته باشند، همچنین برای اصلاح و افزایش ظرفیت سرریز موجود، می‌توان از سرریز چندوجهی استفاده کرد. از طرفی تلاطم و آشفتگی جریان و اعمال ضربات شدید آب بر کف و دیوارهای جانبی کanal آب‌بر و به‌طور کلی شرایط نامناسب جریان داخل کanal آب‌بر، کارایی این سرریزها را با مشکل مواجه می‌کند. در این پژوهش ابتدا با استفاده از یک نرم‌افزار دینامیک سیالات محاسباتی (Flow-3D) به بررسی جریان سه‌بعدی در سرریز U شکل با به کارگیری مدل آشفتگی RNG پرداخته می‌شود. با توجه به اهمیت ورود هوا به جریان در سازه‌های هیدرولیکی به شبیه‌سازی جریان دوفازی در این پژوهش پرداخته شده است. نتایج به دست آمده در مقایسه با شبیه‌سازی عددی تک فاز، حاکی از بهبود پیش‌بینی جریان است. سپس با درنظر گرفتن مدل با ابعاد واقعی، تأثیر مقیاس در مدل‌های آزمایشگاهی بررسی شده است. نتایج نشان می‌دهد مدل‌های فیزیکی در پیش‌بینی ورود هوا به جریان مناسب نیستند و میزان هوا وارد شده وابسته به عدد رینولدز است و از تشابه فرودی تعیت نمی‌کند.

واژگان کلیدی: شبیه‌سازی عددی، سرریز چندوجهی، جریان دوفازی، اثر مقیاس، Flow 3D

ذخیره سد و یا افزایش دبی سرریز و یا ترکیبی از این دو، اصلاحاتی در تاسیسات مربوط به سد انجام داد. به منظور افزایش دبی سرریزها، ایده استفاده از سرریزهای چندوجهی یکی از راهکارهای پیش رو است. این سرریزها برای عبور جریان با بار هیدرولیکی کم، به عنوان سازه مناسبی برای آبگیری از کanal‌ها، مقسام‌ها، سازه کترول ورودی به نیروگاه‌ها و به طور ویژه برای سرریز سدها مطرح شده‌اند.

۱- مقدمه

هنگامی که با بهره‌گیری از اطلاعات هواشناسی و هیدرولوژی، سیل بیشینه محتمل^۱ برای سدی خاص بیشتر از دبی طراحی سیلان است (سیلان که سد مطابق آن طراحی شده است)، در این صورت باید با اقداماتی همچون افزایش حجم

1 Probable maximum flood

جانبی در سه مدل هیدرولیکی سرریزهای سد شهید یعقوبی، جره و سیوند پژوهش‌هایی انجام شده است [4]. مطالعات فارنی و نایت روی ضریب تخلیه و میزان آبگذری یک سرریز جانبی بهینه ال شکل با قابلیت ارجاع آن به سرریز صاف و یا یو شکل بوده است [5,6]. متظر کلاته و همکاران به مطالعه آزمایشگاهی و کلاسیک روی تعدادی از پارامترهای موثر بر عملکرد هیدرولیکی این سرریزها پرداختند. ایشان با تعریف نوسانات فشار به عنوان تابع هدف و پارامترهایی چون ارتفاع آپایه، محل آپایه، شبکه کف کanal جانبی و عدد فرود جریان ورودی به عنوان پارامترهای موثر، مطالعات جزئی تری روی این سرریزها انجام دادند [7]. دانشید و همکاران بوسیله مدل عددی Fluent، جریان روی سرریز سه‌جانبی سد سیوند را مدل‌سازی کردند [8]. البته مطالعات ایشان بیشتر متوجه مدل‌های آشتگی، روش‌های حل معادلات حاکم و کارائی مدل عددی بوده است. تقی زاده به مطالعه بهبود عملکرد هیدرولیکی سرریزهای سه‌جانبی باستفاده از شبیه‌سازی عددی با نرم‌افزار Flow3D پرداخت [9]. ایشان مدل سرریز سد جره را بدون در نظر گرفتن ورود هوا و به صورت تک فاز بررسی کرد. همچنین به بررسی اثر پلکانی کردن پروفیل استاندارد سرریز سه‌جانبی و ارائه روابط مناسبی برای محاسبه ضریب آبگذری در پلان‌های مختلف پرداخت.

شبیه‌سازی عددی جریان در روی سرریز چندوجهی یو شکل و ذوزنقه‌ای شکل در پلان به وسیله یک پژوهشگر انجام شده است، ولی تاکنون در مورد شبیه‌سازی عددی سه بعدی جریان دو فازی آب و هوا، روی سرریزهای چندوجهی گزارشی مشاهده نشده است. هدف از انجام این پژوهش بررسی عددی چگونگی عملکرد این نوع سرریزها با در نظر گرفتن اثر هوای ورودی به داخل جریان و تأثیر آن بر میدان جریان و در نتیجه بهبود نتایج به دست آمده از پژوهش‌های پیشین از طریق مقایسه آن با داده‌های آزمایشگاهی و شبیه‌سازی‌های تک فازه انجام شده است.

۲- معادلات حاکم

در این پژوهش، با بررسی امکانات و توانایی‌ها و

در پژوهش‌های بسیاری به مسئله سرریزها، انواع، ساختار و چگونگی طراحی آن‌ها با عنایون مختلف پرداخته شده است و بیشتر سعی شده است تا با ساخت یک مدل هیدرولیکی و تغییر پارامترهای مؤثر در عملکرد این سرریزها به شرایط بهینه هیدرولیکی مدل دست یافته و نتایج حاصل به نمونه اصلی تعمیم داده شود [1].

برای بررسی دقیق رفتار سازه‌های هیدرولیکی، در بسیاری مواقع، مدل‌های فیزیکی از سازه مورد نظر، که همواره تحت تأثیر عامل مقیاس بوده و محدودیت‌هایی دارند، ساخته شده و آن را مورد آزمایش قرار می‌دهند که این خود متتحمل هزینه‌های اقتصادی و زمانی قابل توجهی است. ضمن اینکه اثر مقیاس روی نتایج، خود از جمله مشکلاتی است که گریبان‌گیر مدل‌سازی فیزیکی است. با پیشرفت قابل توجه کامپیوتراهای امروزی، روش‌های عددی قدرت بیشتری را برای حل مسائل پیچیده پیدا نموده‌اند و در این راستا نرم‌افزارهای زیادی به وجود آمده‌اند. برتری ویژه مدل‌های عددی، امکان شبیه‌سازی مسئله با همان مقیاس واقعی است.

هوایگری جریان یکی از مسائل مهم مرتبط با سازه‌های هیدرولیکی است. ورود هوا به جریان روی سرریزهای جانبی، ریزشی، پلکانی و غیره از نمونه‌های هوایگری طبیعی جریان است. این پدیده با تأثیری که روی عمق، فشار و توزیع سرعت جریان در سازه‌های هیدرولیکی می‌گذارد، در اغلب موارد در روند طراحی هیدرولیکی و سازه‌ای سازه‌های هیدرولیکی تأثیرگذار است. مهمترین اثر این پدیده را می‌توان در تأثیر آن روی توزیع فشار، به ویژه فشار روی سطح سازه‌های هیدرولیکی دانست [2].

تاکنون پاره‌ای مطالعات آزمایشگاهی در مورد سرریزهای چندوجهی انجام شده است و اشکال گوناگونی از این نوع سرریزها در ارتباط با عملکرد بهینه ارائه شده است. اما مطالعات محدودی در مورد عملکرد هیدرولیکی سرریزهای سه‌جانبی صورت گرفته است و اغلب کارهای انجام شده به مسئله بهبود و اصلاح عملکرد هیدرولیکی جریان روی این سرریزها پرداخته است [3]. در مؤسسه تحقیقات آب (۱۳۷۴) روی شکل آپایه، ارتفاع و محل نصب آن و تراز کف کanal

مناسب را در آن سطوح اعمال کند. برای جریان آب و هوا پارامتر F بیانگر کسر حجمی آب، و ناحیه متمم آن با کسر حجمی $1-F$ معرف هوا می‌باشد. معادلات حجم سیال در یک حجم واحد برابر است با [11]:

$$\frac{\partial F}{\partial t} + \frac{1}{V_F} \left[\frac{\partial}{\partial x} (FA_x u) + \frac{\partial}{\partial y} (FA_y v) + \frac{\partial}{\partial z} (FA_z w) \right] = F_{DIF} + F_{SOR} \quad (3)$$

که در آن F_{SOR} نرخ زمانی تغییر کسر حجمی آب در ارتباط با منبع جرم R_{SOR} است و ترم پخش برابر است با [11]:

$$F_{DIF} = \frac{1}{V_F} \left[\frac{\partial}{\partial x} \left(v_f A_x \frac{\partial F}{\partial x} \right) + \frac{\partial}{\partial y} \left(v_f A_y \frac{\partial F}{\partial y} \right) + \frac{\partial}{\partial z} \left(v_f A_z \frac{\partial F}{\partial z} \right) \right] \quad (4)$$

و ضریب پخش برابر $v_f = \frac{c_f \cdot \mu}{\rho}$ است که در آن c_f ثابتی وابسته به عدد اشمیت است [11].

۲-۲- مدل آشفتگی RNG k-ε

مدل آشفتگی RNG که در این پژوهش استفاده شده است، شامل دو معادله انتقال برای انرژی جنبشی آشفتگی (k) و نرخ استهلاک آشفتگی (ϵ) برای بدست آورن تنش‌های رینولدز و لزجت گردابهای است. معادله انتقال استهلاک آشفتگی (ϵ) برابر است با [11]:

$$\frac{\partial \epsilon}{\partial t} + \frac{1}{V_F} \left[u A_x \frac{\partial \epsilon}{\partial x} + v A_y \frac{\partial \epsilon}{\partial y} + w A_z \frac{\partial \epsilon}{\partial z} \right] = C_{1\epsilon} \frac{\epsilon}{k} (P + C_{3\epsilon} G) + D_{diff} - C_{2\epsilon} \frac{\epsilon^2}{k} \quad (5)$$

که ضرائب آن برابر با $C_{1\epsilon} = 1.44$ ، $C_{2\epsilon} = 1.92$ و $C_{3\epsilon} = 0.2$ هستند و ترم پخش استهلاک برابر است با [11]:

$$D_{diff} = \frac{1}{V_F} \left[\frac{\partial}{\partial x} (v_\epsilon A_x \frac{\partial \epsilon}{\partial x}) + \frac{\partial}{\partial y} (v_\epsilon A_y \frac{\partial \epsilon}{\partial y}) + \frac{\partial}{\partial z} (v_\epsilon A_z \frac{\partial \epsilon}{\partial z}) \right]$$

$$v_\epsilon = RMDTKE \left(\frac{\mu}{\rho} \right). \quad RMDTKE = 0.77 \quad (6)$$

RMDTKE ضریب پخش استهلاک آشفتگی است که برای RNG استاندارد برابر با مقدار ۰/۷۷ بوده، ولی در مدل k-ε این مقدار برابر با ۱/۳۹ است [11].

۳-۲- هواگیری جریان

در سریزهای سه‌جانبی، جریان از یک ارتفاع بلند فرو می‌ریزد و سرعت جریان به سمت انتهای سریز به شدت افزایش می‌یابد. این افزایش سرعت جریان سبب شکل‌گیری پدیده

محدودیت‌های نرم‌افزارهای در دسترس از نرم‌افزار Flow3D برای شبیه‌سازی میدان جریان در سریز سه‌جانبی استفاده شده است. معادلات حاکم بر حرکت سیال تراکم‌ناپذیر لزج در حالت آشفته، توسط معادلات ناویر استوکس متوسط‌گیری شده، موسوم به رینولدز (RANS)^۱ بیان می‌شوند. از آنجایی که جریان در پایین سریز همواره به شدت آشفته است، بنابراین در اینجا از معادلات (RANS) با مدل آشفتگی دو معادله‌ای برای حل جریان آشفته و محاسبه انتقال آشفتگی در حوزه محاسباتی استفاده شده است. لازم به ذکر است که برای حل معادلات حاکم بر جابه‌جایی^۲ و پخش^۳ از روش آپ-ویند مرتبه دوم^۴ استفاده شده است.

در سیستم مختصات کارتزین، معادلات حاکم عبارتند از معادله پیوستگی و معادله مومنت، که در ذیل ارائه شده‌اند [10].

معادله پیوستگی جرم که به طور کلی به صورت زیر است:

$$V_F \frac{\partial \rho}{\partial t} + \frac{\partial}{\partial x} (\rho u A_x) + \frac{\partial}{\partial y} (\rho v A_y) + \frac{\partial}{\partial z} (\rho w A_z) = R_{DIF} + R_{SOR} \quad (1)$$

که V_F نسبت کسر حجمی فضای باز به جریان، ρ جرم مخصوص سیال، R_{DIF} ترم نفوذ‌پذیری آشفتگی و R_{SOR} برابر منبع جرم است. u ، v و w اجزای سرعت و A_x ، A_y و A_z مساحت کسری محیط به جریان به ترتیب در جهت‌های x ، y و z هستند.

معادلات مومنت به شرح زیر هستند [11]:

$$\frac{\partial U_i}{\partial t} + \frac{1}{V_F} \left(U_i A_i \frac{\partial U_i}{\partial x_i} \right) = \frac{1}{\rho} \frac{\partial P}{\partial x_i} + g_i + f_i \quad (2)$$

در معادلات فوق P فشار، g_i نیروی گرانش در راستای i و f_i تنش رینولدز است.

۱-۲- مدل‌سازی جریان سطح آزاد

در این پژوهش از مدل حجم سیال VOF برای بدست آوردن سطح آزاد استفاده شده است [12]. مدل حجم سیال در این مدل می‌تواند سطح آزاد را ردیابی^۵ کرده و شرایط مرزی

1 Reynolds Averaged Navier Stokes

2 Convection

3 Diffusion

4 Second Order Upwind (S.O.U)

5 Track

متفاوتی را داشته باشد. این تفاوت در سرعت ناشی از نیروهای حجمی غیریکنواختی است که بعلت تفاوت در جرم مخصوص مؤلفه‌ها بوجود آمده است. هدف این مدل محاسبه حرکت دو فاز وابسته به سرعت حجم متوسط^۱ \bar{u} است. سرعت متوسط وزن‌دار حجمی^۲ برابر است با [11]:

$$\bar{u} = f u_1 + (1 - f) u_2 \quad (10)$$

برای جریان‌های دوفازی معادله‌ای برای سرعت نسبی به دست می‌آید که در آن u_r تفاوت سرعت نسبی بین فازهای

پیوسته و پخش شده است [11]:

$$\frac{\partial u_r}{\partial t} + u_2 \cdot \nabla u_2 - u_1 \cdot \nabla u_1 = \left(\frac{1}{\rho_1} - \frac{1}{\rho_2} \right) \nabla P - \left(\frac{1}{(1-f)\rho_2} + \frac{1}{f\rho_1} \right) k u_r \quad (11)$$

k گرادیان فشار و k ضریب درگ در یک حجم واحد است که وابسته به تعامل دو فاز می‌باشد. در این قسمت هدف تعیین سرعت نسبی u_r است.

۳- مدل عددی

۱-۳- مشخصات میدان حل

مطالعه حاضر بر اساس کار آزمایشگاهی انجام شده در مؤسسه تحقیقات آب در مورد سرریز سد جره صورت گرفته است. سرریز سه جانی با طول ۱۰۰ متر از سه قسمت تشکیل شده است. وجه مقابل، قوسی از دایره به شعاع ۲۰/۶۲ متر و زاویه مرکزی ۱۶۴ درجه با طول ۵۹ متر و وجود جانبی مستقیم طرفین، با زاویه ۸ درجه نسبت به محور سرریز به طول ۲۰/۵ متر می‌باشد. در مسیر عبور جریان از کanal انتقال یک آپایه به شکل یک چهارم بیضی و به ارتفاع ۲/۹۹ متر قرار داده شده است. کارشناسان هیدرولیک مقیاس مورد نیاز برای ساختن مدل فیزیکی را ۱:۵۰ انتخاب کردند [7].

میدان مورد نظر عبارت است از سه قسمت سرریز یو شکل اوجی، کanal انتقال و آپایه، که در آن جریان از سه جهت از یک ارتفاع بلند فرو می‌ریزد و سرعت جریان به سمت انتهای سرریز به شدت افزایش می‌یابد. پس از برخورد جریان‌ها با یکدیگر و تشکیل گرده‌ماهی جریان به سمت

1 Volume-averaged velocity

2 Volume-weighted averaged velocity

هوایگیری سطحی (خودهوایگیری) در جریان‌ها می‌شود. پدیده خود هوایگیری سبب تورم جریان و افزایش عمق می‌شود که این تورم و افزایش عمق بر توزیع فشار بر کف و همچنین در طراحی ارتفاع دیواره‌های کناری سرریز تأثیر چشم‌گیری دارد؛ اما وجود هوا در جریان تأثیر مثبتی بر کاهش خطرات ناشی از کالویتاسیون می‌گذارد. بنابراین مهندسین طراح سازه‌های آبی علاقه دارند از چگونگی توزیع هوا در جریان در تدبیب سرریز سدها آگاهی داشته باشند [13].

وقتی که آشفتگی در جریان به اندازه کافی برای بهم زدن پایداری سطح آب باشد، ورود هوا زمانی اتفاق می‌افتد که انرژی بالابرنه آشفتگی (P_t) بزرگ‌تر از نیروهای پایداری سطح، شامل جاذبه و کشش سطحی (P_d) باشد [11]:

$$\rho k > \rho g_n L_t + \frac{\sigma}{L_t} \quad (7)$$

که در آن k = انرژی جنشی آشفتگی، ρ = جرم مخصوص مایع، σ = ضریب کشش سطحی آب برابر با $g_n = ۰/۰۷۳$ (N/m) است. L_t = ارتفاع بالا آمده المان آب عمود بر سطح آب شتاب گرانش و است که برابر است با [11]:

$$L_t = c_\mu \times \left(\frac{3}{2} \right)^{\frac{1}{2}} \times \left(\frac{k^{\frac{3}{2}}}{\epsilon} \right) \quad (8)$$

که c_μ = ضریب لزجت آشفتگی می‌باشد. هنگامی که این معیار برآورده شد، حجم هوا ورودی که در واحد زمان در آب محبوس می‌شود برابر است با [11]:

$$(V_{air}) = C_{air} A_s \sqrt{\frac{2(P_t - P_d)}{\rho}} \quad (9)$$

که در آن A_s = مساحت سطح و C_{air} = ضریب تناسب کسر حجم باز به جریان و ترم زیر رادیکال سرعت ورود هوا است. به عنوان یک حدس اولیه خوب پیشنهاد می‌شود که $C_{air} = 0.5$ باشد، و به این معنی است که مقدار هوا ورودی به اندازه نصف مساحت سطح المان است [11].

۴-۲- مدل Drift flux

در جریان‌های متخلک از چند مؤلفه، برای نمونه مخلوط‌های سیال/ذره، سیال/حباب‌های هوا و سیال/سیال که در آن هر کدام از مؤلفه‌ها دارای جرم مخصوص متفاوتی است، مشاهده شده، که هر کدام از آن‌ها می‌توانند مقدار سرعت

شکل ۱. جسم جامد و شبکه‌بندی مدل عددی

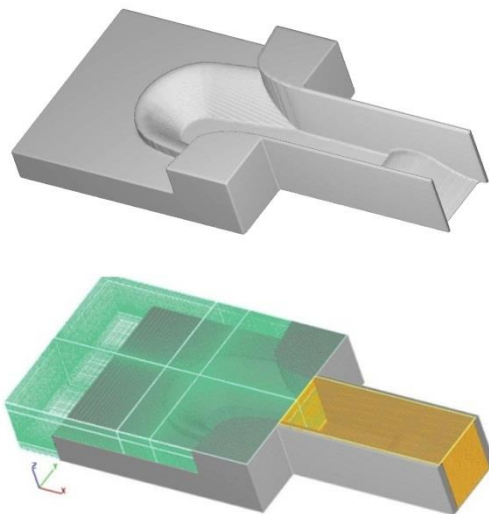


Fig. 1. Solid object and mesh grids

سه شبکه حل در این آزمایش بررسی شده است، بطوری که تعداد سلول‌های شبکه دوم سه برابر شبکه اول و به همین ترتیب تعداد سلول‌های شبکه سوم سه برابر شبکه دوم در هر سه جهت مختصاتی انتخاب شده است. در سه نقطه در طول کanal داده‌های فشار بدست آمده، برداشت شده و با استفاده از برونویابی ریچاردسون^۱ همگرایی آن‌ها به داده‌های درستی آزمایی بررسی شده است [۱۴]. شکل (۲) همگرایی داده‌های فشار با ریزتر شدن شبکه را نشان می‌دهد.

شکل ۲. همگرایی داده‌های فشار با ریزتر شدن شبکه

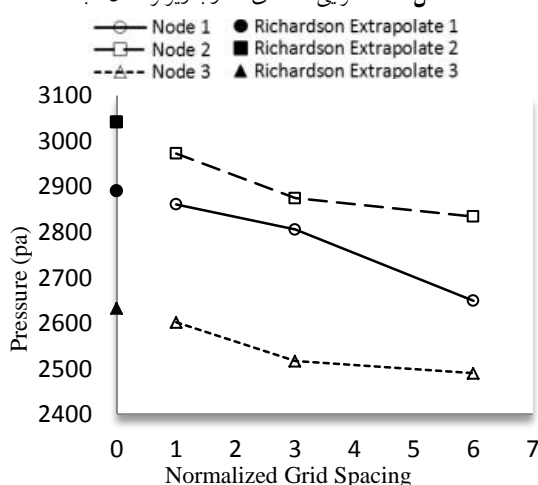


Fig. 2. Convergence of pressure data with smaller grid

۱ Richardson extrapolation

پایین دست هدایت شده و در انتهای بعد از عبور از آبپایه از طریق یک تندا آب به سازه پراکنش انرژی رسیده و از طریق کanal پایاب وارد بستر طبیعی رودخانه می‌شود.

بنابراین بررسی عددی این پدیده نسبتاً پیچیده می‌تواند درک خوبی از فیزیک حاکم بر الگوی جریان در سرریزهای سه‌جانبی ارائه کند. در این مطالعه چهار دبی ۱۱۳، ۵۶، ۱۱ و ۱۷۷ لیتر بر ثانیه استفاده شده است. دبی طراحی در مدل ۱۷۷ لیتر بر ثانیه است.

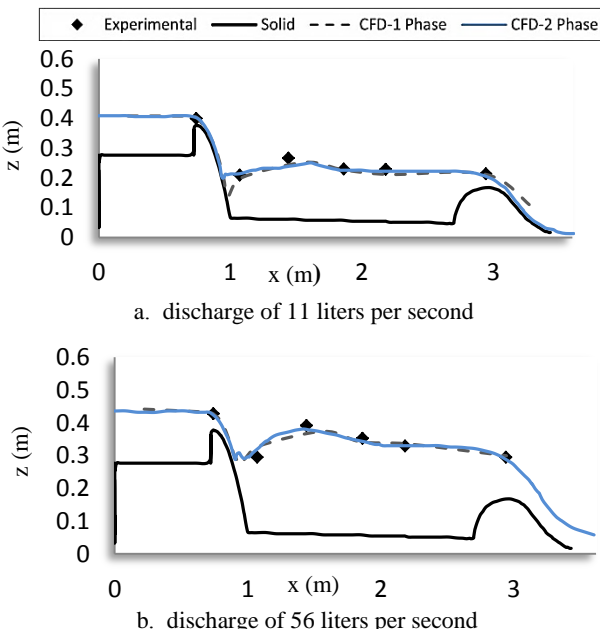
۲-۳- مدل‌سازی و شبکه‌بندی

برای تهیه هندسه مرزهای جامد از نرم‌افزار AutoCAD استفاده شده است. Flow3D نسبت به مرزهای جامد و شبکه‌بندی برخورد نسبتاً متفاوتی با سایر بسته‌های دینامیک سیالاتی محاسباتی دارد. ایجاد مرزهای جامد مناسب در شبکه‌بندی مدل عددی، به ویژه در مدل‌هایی با هندسه پیچیده (مانند مدل در دست بررسی)، بزرگترین محدودیت است و انتخاب مناسب آن می‌تواند دقت محاسبات را بیافزاید [۹]. برای انفال میدان از دو بلوك محاسباتی با شبکه غیریکنواخت استفاده شده است، که در مجموع شامل حدود یک میلیون و دویست هزار حجم محاسباتی می‌شود. در نواحی ای که تغییرات شدید پارامترهای جریان وجود دارد، از شبکه ریزتر (با ابعاد کمینه ۰/۵ mm) و در سایر نواحی از شبکه درشت‌تر (در حدود ۴۰ mm) استفاده شد. شکل (۱) مرزهای جامد و شبکه‌بندی مدل عددی سرریز سد جره را نشان می‌دهد. برای بررسی دقت حل مدل عددی و نیز حساسیت‌سنجی آن نسبت به شبکه مورد استفاده، برای هر مدل آشتفتگی با توجه به نیاز پروژه مبنی بر رسیدن به توزیع فشار نزدیک به داده‌های آزمایشگاهی، در نواحی نزدیک کف کanal از شبکه‌بندی‌های مختلفی استفاده شده است، و در نهایت شبکه‌بندی بهینه از لحاظ دقت و زمان لازم برای حل مدل مزبور انتخاب شده است. برای کنترل کیفی شبکه انتخاب شده، مقاله اسلاط مورد استفاده قرار گرفته است [۱۴] به این صورت که با تعریف پارامترهایی همگرایی شبکه‌های انتخاب شده به داده‌های درستی آزمایی را کنترل می‌کند. متغیر مورد بررسی را فشار در نظر گرفته و محاسبات انجام می‌گیرد.

آمده است. با توجه به شکل، جریان پس از عبور از روی تاج سرریز وارد کanal جانبی می‌شود و در اثر تداخل با جریان‌های جانبی سبب شکل‌گیری گرده‌ماهی در این ناحیه می‌شوند (ناحیه بین نقاط ۲ و ۳ در شکل ۳). از آنجائی‌که افزایش عمق جریان در کanal جانبی مهم‌ترین عامل در کاهش نوسانات فشار و بهبود جریان است [۷,۹]، در دبی‌های پائین‌تر با توجه به عمق کم آب در کanal خطای بیشتری مشاهده شد. بیشترین خطای در دبی ۵۶ لیتر بر ثانیه به مقدار حدودی ۱۲ درصد در محل تشکیل گرده‌ماهی مشاهده شده است. لازم به ذکر است که در کلیه جداول و شکل‌ها منظور از CFD-1 Phase حل عددی مدل تک فاز و منظور از CFD-2 Phase حل عددی مدل دو فاز است.

از تحلیل نتایج فوق، با توجه به جدول (۱) بیشترین خطا (متوسط ۷/۴٪) در ناحیه به وجود آمدن گرده‌ماهی مشاهده شده است، که دلیل آن می‌تواند به علت نوسانات بالای فشار در این ناحیه، آشفتگی شدید جریان و محدودیت مدل‌های آشفتگی در پیش‌بینی جریان در این ناحیه پر تلاطم باشد. با توجه به جدول (۱) اگر از بالادست سرریز به سمت پائین بايستیم سمت راست و چپ در سرریز مشخص خواهد شد.

شکل ۴. مقایسه پروفیل سطح آب در نیم‌رخ مرکزی



۳-۳- شرایط مرزی

در ورودی میدان از شرط مرزی دبی معین استفاده شده است. برای آن که پروفیل سرعت ورودی کاملاً توسعه یافته باشد و شرایط جریان در ابتدا هموار باشد، شرط مرزی ورودی به اندازه کافی از سرریز فاصله گرفته است. برای مرز خروجی میدان یعنی بعد از آپایه از شرط مرزی فشار استفاده شده است که در مقایسه با حالت Outflow از شرایط حل بهتری برخوردار بود. برای شرط مرزی بالا Z_{max} نیز از شرط مرزی فشار استفاده شد، که در این حالت نیز در مقایسه با حالت قابل قبول شرط مرزی تقارن^۱ از شرایط حل بهتری برخوردار است. برای سایر سطوح شرط مرزی دیوار صاف در نظر گرفته شد.

۴- تحلیل نتایج

قابل ذکر است که هر اجرا روی یک کامپیوتر با سی پی یو ۳/۲ گیگاهرتز و حافظه دسترسی ۸ گیگابایت حدود ۱۸ ساعت بطول انجامیده است.

۴-۱- پروفیل سطح آب

مقایسه پروفیل سطح آب بدست آمده توسط حل عددی و داده‌های آزمایشگاهی در دسترس حاکی از دقیقیت حل بالای روش عددی و پیش‌بینی درست عمق آب و الگوی جریان است.

شکل ۳. شبیه‌سازی عددی جریان در دبی ۵۶ لیتر بر ثانیه و مقاطع برداشت

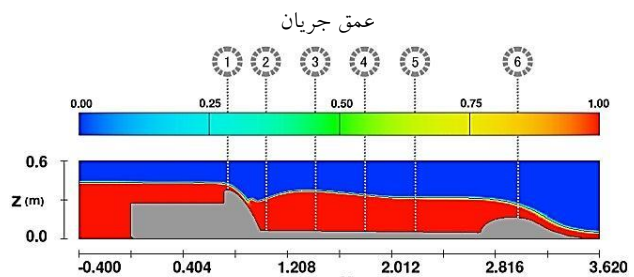


Fig. 3. Flow numerical simulation in a discharge of 56 liters per second and locations of depth measurements

شکل (۳) پروفیل سطح آب در دبی ۵۶ لیتر بر ثانیه را بعد از رسیدن به یک حالت پایدار نشان می‌دهد. نتایج بدست آمده در دبی‌های مختلف و مقایسه آن‌ها با مقادیر آزمایشگاهی در شکل (۴)

جدول ۱. مقادیر عمق جریان در مقاطع عرضی بر حسب سانتی‌متر

a. Q=11 (lit/s)									
Type	Experimental		CFD-2 Phase		Error %				
Section	Right	Center	Left	Right	Center	Left	Right	Center	Left
2	15	14.5	15	14.95	14.99	15.03	0.33	3.36	0.19
3	17	20.5	16.8	16.31	19.30	16.53	4.06	5.84	1.59
4	18.1	17.3	18	16.94	16.99	16.93	6.39	1.79	5.94
5	19.3	17.5	19	17.10	17.12	17.13	11.41	2.14	9.86

b. Q=56 (lit/s)									
Type	Experimental		CFD-2 Phase		Error %				
Section	Right	Center	Left	Right	Center	Left	Right	Center	Left
2	23.4	23	23.5	24.35	25.76	24.01	4.06	12.01	2.17
3	26	33	26.5	29.66	31.03	29.30	14.08	5.97	10.56
4	28.1	29.5	28.5	27.03	27.88	26.84	3.82	5.49	5.82
5	27.5	27.5	27.5	26.30	26.68	26.50	4.35	2.96	3.64

c. Q=113 (lit/s)									
Type	Experimental		CFD-2 Phase		Error %				
Section	Right	Center	Left	Right	Center	Left	Right	Center	Left
2	30.8	30.5	30.7	29.42	32.52	29.28	4.46	6.61	4.63
3	33	39.6	32.8	37.14	38.65	37.18	12.53	2.39	13.34
4	33.4	36.5	33.5	33.47	34.24	33.58	0.20	6.19	0.24
5	34.7	34.5	34.8	32.61	33.25	32.58	6.01	3.62	6.38

d. Q=177 (lit/s)									
Type	Experimental		CFD-2 Phase		Error %				
Section	Right	Center	Left	Right	Center	Left	Right	Center	Left
2	41.6	42	42	38.46	38.84	38.46	7.55	7.52	8.43
3	42.4	42.2	42.6	40.22	41.72	40.11	5.15	1.13	5.84
4	40.9	41.7	40.8	39.05	39.32	39.22	4.51	5.70	3.87
5	41.2	41	41.2	38.53	39.39	38.63	6.48	3.92	6.24

Table 1. Cross sectional flow depths (cm) for different discharges

۲-۴- توزیع فشار کف کanal جانبی

از بررسی نتایج به دست آمده مشاهده می‌شود که توزیع فشار در حالت دوفازی با توجه به درنظر گرفتن ورود هوا و تغییرات جرم مخصوص جریان بهبود یافته و تا حد قابل قبولی، به ویژه در دبی‌های بالاتر رسیده است.

همان‌گونه که گفته شد در دبی‌های پایین‌تر به علت وجود آشفتگی شدید و محدودیت مدل‌های آشفتگی خطای بیشتری مشاهده شده است، درحالی که به دلیل پر شدن سرریز در

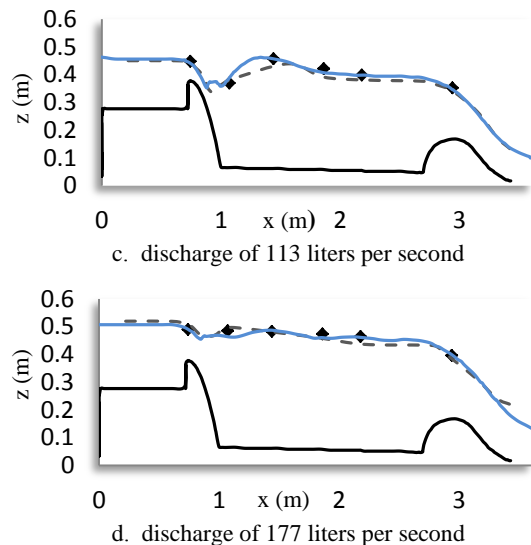


Fig. 4. Comparison of water surface profiles in the center line

از آنجایی که روش VOF به کار گرفته شده در این نرم‌افزار، حتی در حالت تک فازی نیز با درنظر گرفتن اثر ورود هوا، در تعیین سطح آزاد بخوبی عمل می‌کند، با توجه به شکل (۴) و جدول (۱) با مقایسه نتایج بدست آمده از شبیه‌سازی عددی مدل در دو حالت تک فازی و دوفازی در کلیه نقاط حوزه حل، مشاهده می‌شود که در ناحیه ریزش جریان به داخل حوضچه آرامش، یعنی ناحیه‌ای که بیشترین هوای ورودی به جریان را دارد، اندکی اختلاف (به طور متوسط ۴ درصد) در پیش‌بینی سطح آب وجود دارد که نشان از عملکرد بهتر مدل دوفازی در این ناحیه دارد و از نظر کمی به‌طور میانگین در کلیه نقاط نیم‌رخ مرکزی کanal مدل دوفازه ۲/۵ درصد نتایج مدل تک فاز را بهبود بخشیده است. با توجه به سه‌بعدی بودن مسئله مورد بحث، مقادیر عمق آب در نقاط مختلفی در راستای عرضی نیز برداشت شد.

با توجه به جدول (۱) از مقایسه مقادیر عمق جریان داده‌های آزمایشگاهی در ابتدای کanal مشاهده می‌شود که مقادیر عمق آب در کثارهای کمتر از نیم‌رخ مرکزی کanal می‌باشد (گردهماهی) و رفته رفتہ به سمت انتهای کanal در یک تراز قرار می‌گیرند. همان‌طور که در مدل عددی نیز مشاهده شد برخورد جریان‌های ریزشی و تشکیل گردهماهی دلیل این امر می‌باشد، و این مسئله نشان‌دهنده شبیه‌سازی موردن‌قبول مدل عددی در پیش‌بینی الگوی جریان است.

است.

از جهت تحلیل هیدرودینامیکی، با توجه به شکل (۶) بردارهای سرعت جریان در ناحیه تشکیل گردهماهی بر اثر تداخل جریان‌ها از طرفین و برخورد به یکدیگر رو به بالا می‌باشد، که این مسئله موجب وجود آمدن حالت مکش در این ناحیه از جریان می‌شود، بنابراین فشار وارد بر کف در این ناحیه افت خواهد کرد.

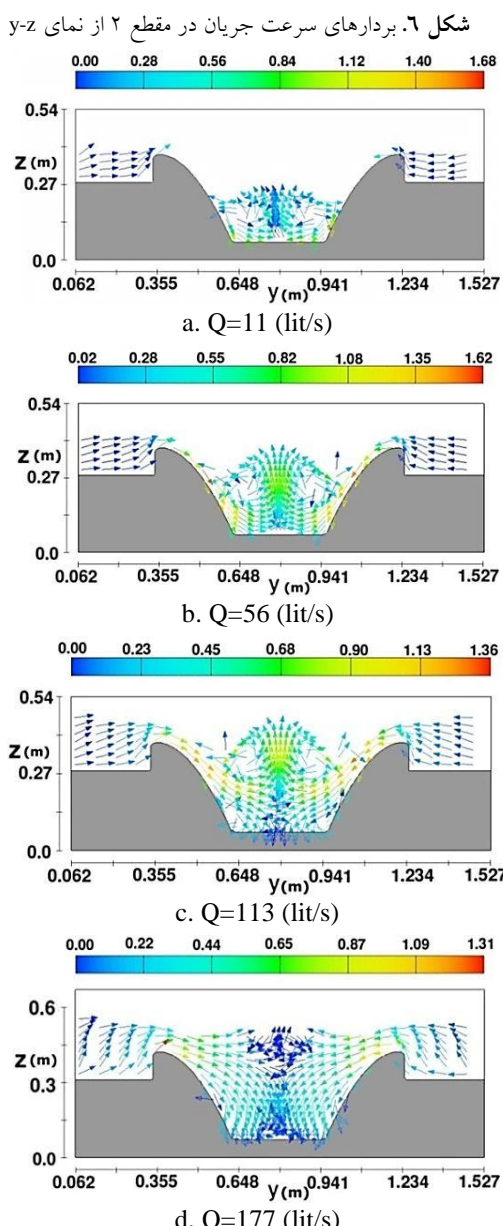


Fig. 6. Flow velocity vectors in section 2 of the y-z view

مقادیر خطای متوسط و پیشینه فشار در دبی‌های مختلف در جدول (۲) آمده است. همانطور که ذکر شد پیشترین خطا در ناحیه

دبی‌های بیشتر و در نتیجه آشفتگی کمتر، مدل عددی از دقت خوبی برخوردار است.

شکل ۵. توزیع فشار در نیم‌رخ کanal جانبی

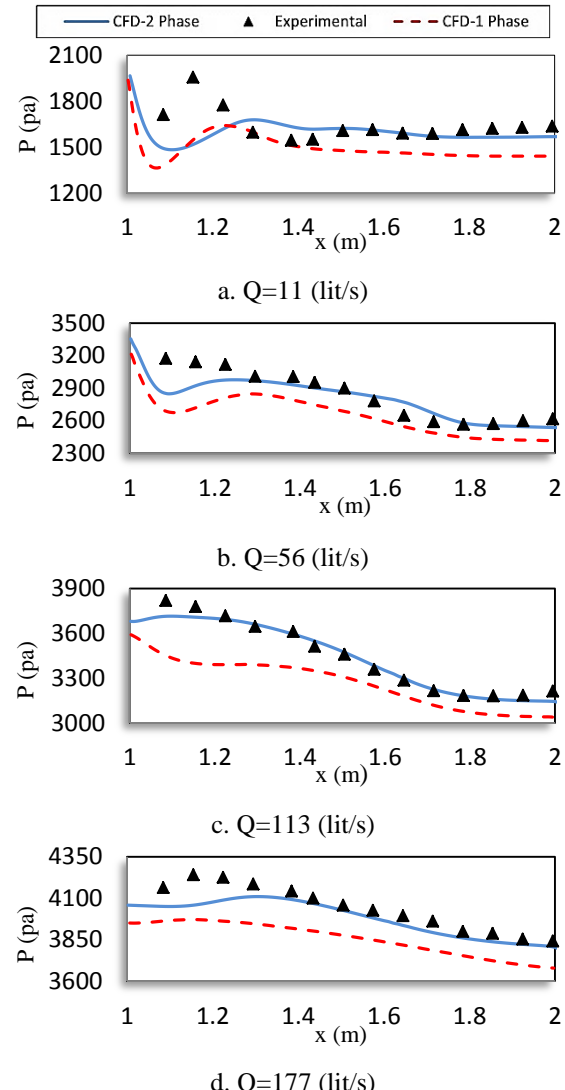


Fig. 5. Pressure distribution in the centerline

با توجه به شکل (۵) پیشینه خطای در ابتدای کanal جانبی و در محل تشکیل گردهماهی رخ داده است، که این مسئله از چند منظر قابل بررسی است. اول آنکه اندازه‌گیری فشار در آزمایشگاه به وسیله نصب پیزومترهایی در محل‌های از پیش تعیین شده انجام گرفته است، که در این حالت در محل برخورد جریان به کف با توجه به قطر پیزومتر، سرعت اندکی عمود بر کف به داخل پیزومتر وجود دارد که این مسئله باعث بالا رفتن مقدار در داده‌های آزمایشگاهی است، در حالی که در مدل عددی سرعت عمود بر کف تقریباً صفر

۱:۵۰ بوده است، بنابراین تمامی پارامترها مانند ابعاد سرریز و سلول شبکه انتخاب شده، به مقیاس یک به یک تبدیل شده‌اند. اجرای مدل عددی برای مدل با مقیاس واقعی در سه دبی ۱۰۰۰، ۲۰۰۰ و ۳۱۴۰ مترمکعب بر ثانیه که معادل دبی‌های ۵۶، ۱۱۳ و ۱۷۷ لیتربرثانیه برای مدل کوچک مقیاس می‌باشند، انجام گرفت. برای مقایسه مقادیر بررسی شده بین دو مدل آزمایشگاهی و مدل با ابعاد واقعی، نتایج با تبدیل خروجی‌های به دست آمده از مدل واقعی به مقیاس آزمایشگاهی رسم شده‌اند.

۱- پروفیل سطح آب

با توجه به شکل (۷) سطح آب بدست آمده برای نمونه اصلی با مقادیر بدست آمده برای مدل متفاوت بوده، که این اختلاف عمق جریان در مقیاس ۱:۵۰ به عنوان نمونه در دبی ۱۰۰۰ مترمکعب بر ثانیه در تبدیل به مقیاس ۱:۱ اندازه‌ای برابر با بیشینه ۲/۵ متر خواهد داشت که مقدار قابل ملاحظه‌ای خواهد بود.

شکل ۷. پروفیل سطح آب نیم‌رخ کanal در مدل و نمونه اصلی

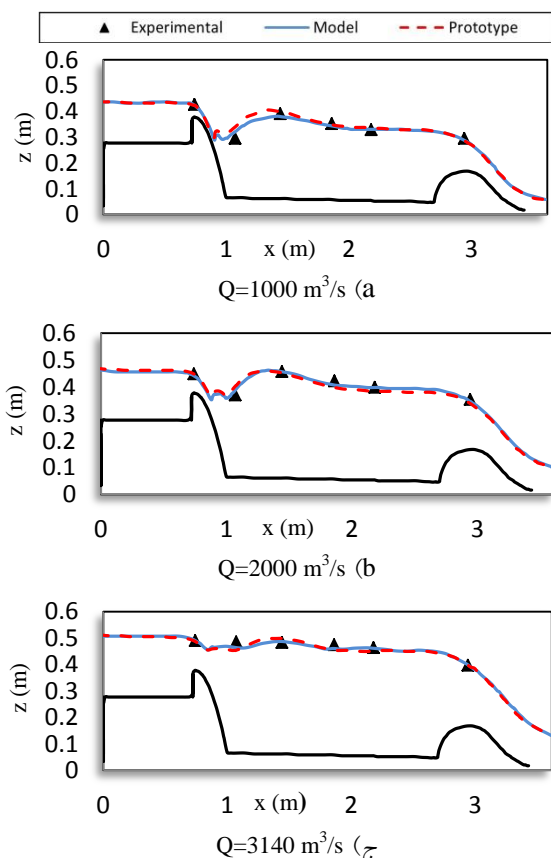


Fig. 7. Water profile in C.L. for model and prototype

ابتداً تشکیل گرده‌ماهی مشاهده می‌شود و به تدریج با افزایش دبی از مقدار بیشینه خطا در این ناحیه کاسته می‌شود. میانگین خطای محاسبه شده نشان می‌دهد که با افزایش میزان دبی توزیع فشار در کف کanal جانبی به داده‌های بدست آمده در آزمایشگاه نزدیک‌تر می‌شود. لازم به ذکر است که فشار بدست آمده میانگین فشارهای ۵ ثانیه انتهایی بعد از رسیدن به حالت پایدار است.

جدول ۲ خطای فشار در کف

Q (lit/s)	Avg. Error%	Max. Error%	Location of max Error
11	6.56	22.29	x=1.16
56	2.93	10.1	x=1.08
113	0.98	2.87	x=1.08
177	1.70	4.24	x=1.17

Table 2. Pressure error on the floor

با توجه به اینکه مدل ساخته شده در آزمایشگاه با ابعادی ۵۰ برابر کوچکتر از مدل اصلی ساخته شده، و در آن ارتفاع سرریز از کف کanal به مقداری در حدود ۳۰ سانتی‌متر رسیده است، بنابراین نمی‌توان انتظار داشت تا حجم هوای ورودی به جریان مقدار واقعی خود را نشان دهد. در ادامه به بررسی مدل در اندازه واقعی و مقایسه آن با نتایج مدل شده‌ی آزمایشگاهی پرداخته خواهد شد.

۵- بررسی تأثیر مقیاس بر هیدرودینامیک سرریز سه‌جانبی

برای بررسی دقیق رفتار سازه‌های هیدرولیکی در بسیاری مواقع مدل‌های فیزیکی از سازه مورد نظر ساخته شده و آن را مورد آزمایش قرار می‌دهند که این خود متحمل هزینه‌های اقتصادی و زمانی قابل توجهی است. ضمن اینکه اثر مقیاس روی نتایج خود از جمله مشکلاتی است که گریبان‌گیر مدل‌های فیزیکی است. به علاوه این مدل‌ها بر اساس تشابه عدد فرود است و رفتار جریان در مدل با مقیاس کوچک همان رفتاری نیست که در نمونه واقعی اتفاق می‌افتد. به همین علت در این قسمت به بررسی درستی و تأثیر مقیاس انتخاب شده برای نمونه اصلی، پرداخته خواهد شد. با توجه به آن که نسبت تشابه انتخاب شده برای ساخت مدل فیزیکی برابر با

با بررسی شکل (۷) و جدول (۳) بیشترین اختلاف در پایین سرریز و در محل شکل گیری گرده‌ماهی مشاهده می‌شود. دلیل آن با توجه به شکل (۸) ناشی از ورود هوای بیشتر در نمونه اصلی نسبت به مدل می‌باشد، که باعث می‌شود عمق آب در این قسمت بیشتر محاسبه شود. با توجه به شکل (۸) هوای ورودی به جریان در مدل با ابعاد واقعی تا انتهای کanal نیز ادامه دارد.

شکل ۸ مقایسه هوای ورودی به کanal بین مدل و نمونه اصلی

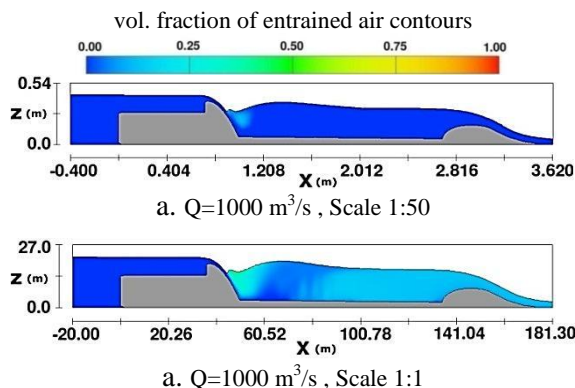


Fig. 8. Comparison between air entrance in model and prototype

نتایج نشان می‌دهد ورود هوای در مدل ۱:۵۰ نسبت به مدل ۱:۱ نسبت تشابه آن نیست. این نتیجه همانگ با یافته‌های چنسن و همکاران است [۱۵, ۱۶, ۱۷]. ایشان با بررسی پدیده پرش هیدرولیکی دریافتند که هوای ورودی به جریان را نمی‌توان بدون در نظر گرفتن آثار مقیاس بر حسب نسبت اندازه حباب‌ها، آشفتگی و توزیع زمانی حباب‌های هوای به نمونه اصلی تعمیم داد. همچنین نشان دادند که تشابه دینامیکی جریان دوفازی در پرش هیدرولیکی را نمی‌توان با استفاده از تشابه فروید ارضاء کرد، مگر اینکه با سازه با ابعاد واقعی کار کرد.

از آنجائی که بیشتر سازه‌های هیدرولیکی، سیستم‌های کنترل سیالاب، تأسیسات تصفیه آب و غیره دارای عدد رینولدز 10^6 تا 10^8 هستند، پس این موضوع از اهمیت زیادی برخوردار است.

۲-۵- بررسی توزیع فشار کف کanal

از آنجائی که مقدار نسبی هوای وارد شده به جریان در مدل با

با توجه به آن که آشفتگی جریان در دبی‌های پایین تر بیشتر است، افزایش تراز سطح آب می‌تواند به علت ورود هوای بیشتر در نمونه اصلی در مقایسه با مدل باشد. با افزایش دبی جریان تراز سطح آب در هر دو مدل و نمونه اصلی نسبتاً یکسان می‌شود.

در جدول (۳) مقادیر متناظر عمق جریان سرریز با ابعاد واقعی در مقیاس ۱:۵۰ در مقاطع عرضی کanal و مقایسه آن‌ها با مقادیر آزمایشگاهی آمده است. نقاط مورد نظر همان نقاط مشخص شده در شکل (۳) است.

جدول ۳. مقادیر عمق جریان سرریز مدل واقعی در مقاطع عرضی

الف- دبی معادل $Q=1000 \text{ m}^3/\text{s}$

Type	Experimental			CFD-2 Phase			Error %	
Sectio n	Right	Center	Left	Right	Center	Left		
2	23.4	23	23.5	25.48	27.63	25.53	8.88	20.11
3	26	33	26.5	31.85	33.73	32.27	22.49	2.22
4	28.1	29.5	28.5	28.31	29.30	28.30	0.75	0.66
5	27.5	27.5	27.5	27.74	28.12	27.15	0.87	2.26
								1.28

ب- دبی معادل $Q=2000 \text{ m}^3/\text{s}$

Type	Experimental			CFD-2 Phase			Error %	
Sectio n	Right	Center	Left	Right	Center	Left		
2	30.8	30.5	30.7	32.02	34.02	32.02	3.96	11.54
3	33	39.6	32.8	37.55	39.23	37.65	13.79	0.93
4	33.4	36.5	33.5	33.96	34.27	33.97	1.68	6.10
5	34.7	34.5	34.8	33.41	33.12	33.17	3.71	4.04
								4.69

ج- دبی معادل $Q=3140 \text{ m}^3/\text{s}$

Type	Experimental			CFD-2 Phase			Error %	
Sectio n	Right	Center	Left	Right	Center	Left		
2	41.6	42	42	37.96	38.07	38.04	8.74	9.36
3	42.4	42.2	42.6	40.68	42.72	40.67	4.04	1.23
4	40.9	41.7	40.8	39.01	38.94	39.02	4.61	6.61
5	41.2	41	41.2	38.78	38.81	38.86	5.87	5.34
								5.68

Table 3. Cross sectional flow depths (cm) in prototype for different discharges

با بررسی مقادیر خطای می‌توان پی برد که مقیاس انتخاب شده مطلوب بوده، که این مسئله در دبی‌های بالاتر که از اهمیت بیشتری نیز برخوردارند، مشهودتر است.

مدل آزمایشگاهی خواهد داشت. بعد از این مرحله که از مقدار هوای وارد شده کاسته می‌شود، باز هم به دلیل افزایش عمق جریان مقدار فشار بیشتری روی کف اعمال می‌شود که این مورد در دبی معادل $1000\text{ m}^3/\text{s}$ بر ثانیه به خوبی قابل مشاهده است.

از آنجایی که اگر هوای وارد شده به جریان دارای مقدار قابل توجهی باشد، می‌تواند بر جرم مخصوص مخلوط سیال تأثیر گذارد، پس می‌توان پی برد که مقدار فشار در نقاط مزبور با توجه به رقیق‌تر شدن سیال کاهش می‌یابد.

در ادامه یعنی در اواسط کanal علاوه بر افزایش جزئی عمق جریان، هوای وارد شده به جریان با توجه به شکل (۸)، مقدار بیشتری در نمونه اصلی نسبت به مدل دارد، که همزمانی این دو مورد باعث می‌شود تا توزیع فشار در این نقاط بین مدل و نمونه اصلی تقریباً یکسان باشد. در انتها نیز باز هم به علت وجود هوا در جریان و رقیق‌تر شدن آن، مقدار فشار کمتری مشاهده می‌شود.

شکل ۱۰. جهت بردارهای سرعت در دبی معادل $3140\text{ m}^3/\text{s}$

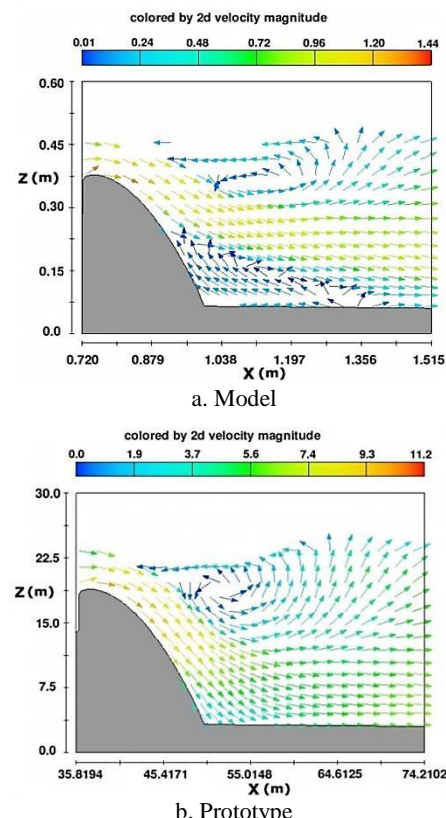


Fig. 10. Velocity vectors for equivalent discharge of $3140\text{ m}^3/\text{s}$

بعد واقعی خیلی بیشتر است، پس انتظار می‌رود علاوه بر اینکه سطح آب در محل ورود هوا به جریان افزایش می‌یابد، مقدار فشار در این نقاط به علت سبکی حباب‌های هوا و اثر آن در جرم مخصوص مخلوط سیال، کاهش یابد.

با بررسی شکل (۹) می‌توان نتیجه گرفت که در دبی‌های کمتر اختلاف بین مقادیر بدست آمده برای مدل در مقایسه با نمونه اصلی بیشتر بوده، که دلیل آن وجود تلاطم بالای جریان و محدودیت مدل آشفتگی می‌باشد، ولی به تدریج با افزایش دبی از میزان این اختلاف کاسته می‌شود. مشاهده می‌شود که بیشترین اختلاف در توزیع فشار مربوط به ابتدا و انتهای بازه مورد نظر است.

شکل ۹. توزیع فشار کف نیم‌رخ کanal در مدل و نمونه اصلی

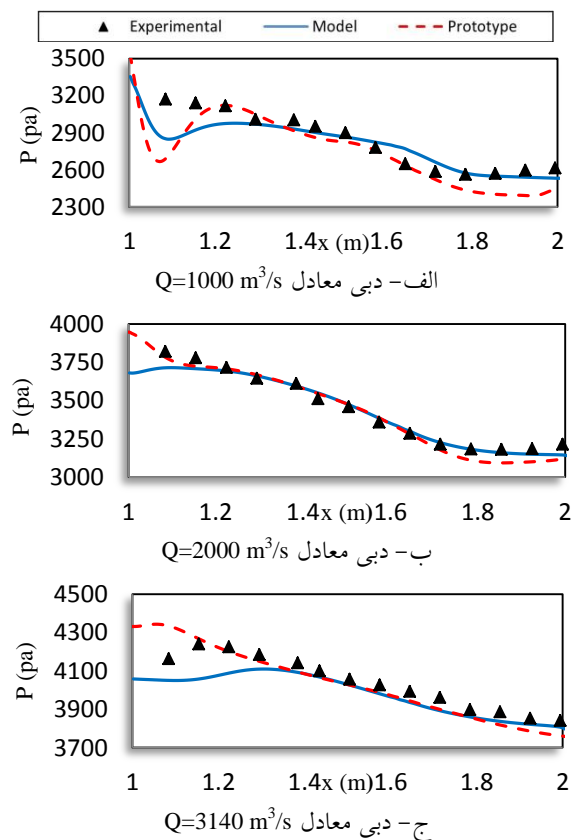


Fig. 9. Pressure distribution in C.L. for model and prototype

افزایش مقدار فشار در نقاط اولیه به دلیل افزایش عمق و همچنین افزایش نسبی سرعت ریزش جریان است. به علت بیشتر بودن انرژی ناشی از سرعت و همچنین افزایش میزان هوایگری جریان نمودار توزیع فشار افت بیشتری در مقایسه با

- بیشترین تغییرات در پروفیل سطح آب به دلیل ذکر شده در بالا، در ناحیه ورود هوا و تشکیل گرده‌ماهی مشاهده می‌شود، که به تدریج با حرکت به سمت پایین دست و همچنین با افزایش دبی از میزان این اختلاف کاسته خواهد شد.
- توزیع فشار در کف کانال جانبی باز هم در ناحیه ورود هوا به جریان دارای تفاوت با نمونه آزمایشگاهی آن می‌باشد. در دبی‌های بیشتر خطای کمتری مشاهده می‌شود.

References

۷- مراجع

- [1] Afshar A. & Niksefat Gh. 1988 *Design of Hydraulic Structures of Small Dams*, Iran University of Science and Technology Publication. (In Persian)
- [2] Babb A. F. & Aus H. C. 1981 *Measurement of air in flowing water*, Journal of the Hydraulics Division, **107**(12), 1615-1630.
- [3] Montazar A. & Salehi-Neyshabouri S.A.A. 2006 *Impact of some parameters affecting the hydraulic performance of U-shaped side spillway*, Canadian Journal of Civil Engineering, **33**, 552-560.
- [4] Water Research Institute, 1996 *Final report of the hydraulic model of Jare Dam Spillway*, Journal No. 268. (In Persian)
- [5] Knight A. 1089 *Design of efficient side channel spillway*, ASCE, Journal of Hydraulic Engineering, **115**(9), 1275-1289.
- [6] Farney H. S. & Markus A. 1962 *Side channel spillway design*, J. Hydr. Engrng. ASCE; Vol. 88, No. 3, 131-154.
- [7] Montazer-Kalate A.A. 1996 *A study on some major parameters affecting the hydraulic behavior of three-sided channel spillways*, M.Sc. thesis, Faculty of Agriculture, Tarbiat Modares University, Tehran. (In Persian)
- [8] Daneshbod Y. & Taleb-Beydokhti N. 2009 *Simulation of flow on Sivand spillway with Fluent*, 08th Iranian Hydraulic Conference, Faculty of Engineering, Tehran University, Iran. (In Persian)
- [9] Taghizadeh H. 2010 *Improving Hydraulic Performance of U-Shaped Spillways Using Numerical Modeling*, M.Sc. thesis, Faculty of Civil and Environmental Eng., Tarbiat Modares University, Tehran, Iran. (In Persian)
- [10] Patankar S. V. 1980 *Numerical heat transfer and fluid flow*, Taylor & Francis Group.
- [11] Brethour J. M. & Hirt C. W. 2009 *Flow-3D user's manual*, Flow Science Inc.
- [12] Hirt C. W. & Nichols B. D. 1981 *Volume of fluid (VOF) method for the dynamics of free boundaries*, Journal of Computational Physics; **39**(1), 201-225.

در دبی معادل ۳۱۴۰ مترمکعب بر ثانیه اختلاف زیادی در توزیع فشار ابتدای کanal جانبی مشاهده می‌شود، که این پدیده ناشی از تفاوت در پیش‌بینی جهت بردارهای سرعت در نزدیکی کف در این دبی می‌باشد. با مشاهده شکل (۱۰) می‌توان دریافت که جهت بردارهای سرعت در مدل به سمت بالا بوده و یک جریان گردابه‌ای در این قسمت ملاحظه می‌شود، در صورتی که در مدل با ابعاد واقعی چنین پدیده‌ای مشاهده نمی‌شود. بنابراین می‌توان این گونه نتیجه گرفت که دلیل افزایش مقدار فشار در نمونه اصلی جهت جریان رو به پایین آن در این ناحیه می‌باشد.

۶- نتیجه‌گیری

- با توجه به اهمیت ورود هوا به جریان در سازه‌های هیدرولیکی به شبیه‌سازی جریان دوفازی و بررسی عملکرد نرم‌افزار در موضوع تحقیق حاضر پرداخته شد. نتایج نشان می‌دهد مدل آشفتگی RNG گزینه مناسبی برای پیش‌بینی الگوی جریان در این نوع سرریزها می‌باشد.
- با بررسی میزان دبی ورودی، بیشترین خطا در تخمین پروفیل سطح آب و فشار کف کanal در دبی‌های پایین رخ داده است. همچنین بیشترین خطای عددی در محاسبات، در ناحیه تشکیل گرده‌ماهی مشاهده شد.
- شبیه‌سازی دوفازی جریان منجر به بهبود نتایج به دست آمده، بخصوص برای توزیع فشار کف کanal شده است.
- در دبی‌های پایین‌تر با توجه به آشفتگی بیشتر جریان اثر مقیاس نمود بیشتری خواهد داشت، در حالی که به تدریج با افزایش دبی از اثر آن کاسته خواهد شد.
- جریان دو فازی تأثیرپذیری نسبتاً قابل توجهی از عامل مقیاس داشته، بنابراین نتایج حاصل از مدل‌های فیزیکی را نمی‌توان مستقیماً و بدون اعمال ضرائب تصحیح، برای نمونه‌های واقعی به کار برد.
- هوای ورودی به جریان در مقیاس واقعی تفاوت عمده‌ای با نتایج آزمایشگاهی از خود نشان می‌دهد.

- [16] Chanson H. 2007 *Air bubble entrainment in hydraulic jumps: Physical modeling and scale effects*, 32nd IAHR Biennial Congress, Vol. 2. IAHR.
- [17] Pfister M. & Chanson H. 2013 *Scale effects in modeling two-phase air-water flows*, Proceedings of the 35th IAHR World Congress, No. EPFL-CONF-188570. TPU.
- [13] Sabbagh-Yazdi SR. & Rezaei-Manizani H. 2012 *Using Depth Average Flow Solver of NASIR Finite Volume Software for Modeling Air Entrainment from Water Surface in Chute Flow*, Modares Civil Engineering Journal, Iran. 12(1), 39-54 (In Persian)
- [14] Slater J. W. 2006 *Examining spatial (grid) convergence*, Public tutorial on CFD verification and validation, NASA Glenn Research Centre, MS 86.
- [15] Chachereau Y. & Chanson H. 2011 *Air entrainment and scale effects in hydraulic jumps with small Froude numbers*, Proceedings of the 34th World Congress of the International Association for Hydro-Environment Research and Engineering: 3rd Hydrology and Water Resources Symposium and 10th Conference on Hydraulics in Water Engineering, Engineers Australia.

Two-Phase Numerical Simulation of Flow Pattern in Three-sided Spillways, Considering Scale Effect

A. Farhoudi Mahdiar¹, B. Salehi Neyshabouri Seyed Ali Akbar^{2*}, C. Safarzade Akbar³

1- M.Sc. of Hydraulic Engineering, Faculty of Civil and Environmental Eng., Tarbiat Modares University

2- Associate Prof., Hydraulic Eng. Dept., Faculty of Civil and Environmental Eng., Tarbiat Modares University

3- Assistant Professor of Civil Engineering, Faculty of Engineering, University of Mohaghegh Ardabili

***salehi@modares.ac.ir**

Abstract:

Three-sided spillways attract crucial attention of designers due to their characteristics in significant reduction of costs and operating problems, in comparison with the other kinds of spillways. Three-side spillways are type of outlet works at dams that are from the best options in storage dams with specific topographical conditions - despite their hydraulic limitations and construction problems. This kind of spillways are applicable in locations with limited available space for overall width of spillway and in locations where excess volume for flood overload. On the other side, where modification and capacity increase are to be necessary in existing spillways, this kind of structure is recommended. However, inappropriate conditions in water channel - such as flow turbulence and impact of water on bed and lateral walls of the channel- result in poor performance of these structures. In the present study, flow pattern of a U-shaped spillway, the channel and the end sill are evaluated using computational fluid dynamics software (FLOW-3D). RNG k-ε model is implemented for simulation of turbulence. Comparison of numerical results with experimental data shows the ability of this model to predict three dimensional flow patterns over this kind of spillways. Hydraulic performance with reducing the pressure fluctuations in side channel is an important issue in the design procedure of these spillways. Regarding important effect of air entrance in hydraulic structures, two-phase analysis is performed in this study. Numerical results show that two-phase analyses have a better performance in comparison with one-phase simulations. Studies show that changing the inlet flow rate results in maximum error for estimating the water level and pressure profiles at bottom of the channel at low discharges. In addition, the maximum numerical error is observed in the area where bulge exists. By considering the actual dimensions of the model, scale effects are studied on physical model scales. The findings have some major implications of civil, environmental and sanitary engineering, because most hydraulic structures, storm water systems and water treatment facilities operate with Reynolds numbers within ranging from 10^6 to over 10^8 . In a physical model, the flow conditions are said to be similar to those in the prototype flow conditions; if the model displays similarity of form, similarity of motion and similarity of forces. The present results quantitatively demonstrate that the dynamic similarity of two-phase flows cannot be achieved with a Froude similarity unless working at full-scale. So that physical models are not good in predicting air entrainment and the amount of air entering depends on Reynolds number and does not follow Froude similarity. The largest amount of free surface profile variation due to aforementioned reason is observed in air entrance and bulge formation zones. This variation decreases as flow moves toward downstream or as discharge value increases.

Keywords: Numerical simulation, Three-sided spillway, Two-phase flow, Scale effect, Flow 3D